



تجزیه زیستی زایلین توسط باکتری‌های آزاد و تثبیت‌شده *Sphingomonas paucimobilis strain TY4-HX* بر اکسید گرافن

حسین محمدپور^۱، مهدی شهریاری نور^{۲*} و رامین یوسفی^۳

^۱ گروه میکروبیولوژی، دانشکده علوم کشاورزی و فناوری های نوین، دانشگاه آزاد اسلامی شیراز، شیراز، ایران

^۲ گروه میکروبیولوژی، دانشکده علوم پایه، دانشگاه آزاد اسلامی واحد رشت، رشت، ایران

^۳ گروه فیزیک، دانشکده علوم پایه، دانشگاه آزاد اسلامی واحد مسجد سلیمان، مسجد سلیمان، ایران

تاریخ دریافت: ۱۳۹۷/۰۲/۱۵ تاریخ پذیرش: ۱۳۹۷/۰۸/۱۳

محمدپور، ح.، م. شهریاری نور و ر. یوسفی. ۱۳۹۷. تجزیه زیستی زایلین توسط باکتری‌های آزاد و تثبیت‌شده *Sphingomonas paucimobilis strain TY4-HX* بر اکسید گرافن. فصلنامه علوم محیطی. ۱۶(۴): ۶۳-۸۰.

سابقه و هدف: در چند دهه اخیر، زایلین به همراه تعدادی دیگر از ترکیب‌های آروماتیک موجود در نفت خام و دیگر محصول‌های پتروشیمی به‌عنوان یکی از آلاینده‌های مهم خاک محسوب شده‌اند، بنابراین هدف از این بررسی، یافتن سویه باکتری برای تجزیه زیستی این ترکیب و افزایش راندمان تجزیه این ترکیب به کمک تثبیت این باکتری بر روی ترکیب‌هایی با ساختار نانویی مانند اکسیدگرافن است.

مواد و روش‌ها: در این پژوهش، تجزیه زیستی زایلین با استفاده از باکتری‌های آزاد و تثبیت‌شده به کمک اکسید گرافن در شرایط بهینه بررسی شد. باکتری‌های تجزیه‌کننده زایلین از خاک‌آلوده جداسازی شد و با استفاده از توالی ژن *16S rDNA* شناسایی گردید. که باکتری شناسایی شده *Sphingomonas paucimobilis* سویه TY4-HX بود. برای تجزیه زایلین با استفاده از سلول‌های آزاد و تثبیت‌شده، میزان بهینه pH، دما، و غلظت زایلین به کمک روش RSM به ترتیب برابر با ۷، ۳۲ °C و ۱/۵ g/l تعیین شد.

نتایج و بحث: سلول‌های آزاد تحت شرایط بهینه قادر به تجزیه زیستی زایلین به مقدار ۴۵/۸٪ طی ۲۴ ساعت بود. در این مطالعه از اکسید گرافن به‌منظور تثبیت باکتری *Sphingomonas paucimobilis* سویه TY4-HX استفاده شد. با استفاده از روش‌های SEM و FTIR مشخص شد که این سویه با اتصال به سطح اکسید گرافن قادر به ایجاد بیوفیلم شده است. باکتری‌های تثبیت‌شده به این روش قادر به تجزیه زیستی زایلین به مقدار بیش از ۸۶/۳٪ تحت شرایط بهینه و در زمان ۲۴ ساعت بود.

نتیجه‌گیری: با توجه به نتایج به‌دست آمده، باکتری‌های تثبیت‌شده نسبت به همان سویه از باکتری‌های آزاد، از عملکرد بهتری در پالایش خاک‌آلوده به زایلین برخوردار بودند.

واژه‌های کلیدی: تجزیه زیستی، اکسید گرافن، RSM، SEM، زایلین.

* Corresponding Author. E-mail Address: mahdi.shahriari@iaurasht.ac.ir

مقدمه

مشتقات آروماتیک نفتی به‌طور معمول به‌عنوان آلاینده‌های خاک و آب‌های زیرزمینی شناخته شده‌اند. تجزیه زیستی مواد آلی با استفاده از میکروارگانیسم‌های متنوعی از جمله به کمک سویه‌های باکتری‌ها امکان‌پذیر است. به دلیل شباهت در ساختار بیشتر آلاینده‌های آلی آروماتیک، این امکان وجود دارد که سویه باکتری‌هایی که قابلیت تجزیه یک ترکیب خاص را دارند، توانایی تجزیه دیگر مواد آلی آروماتیک مشابه را نیز خواهند داشت. هنگامی که تماس فیزیکی بین آلاینده و باکتری برقرار گردد، امکان تشکیل بیوفیلم و تولید ماده فعال سطحی برای افزایش میزان در دسترس بودن مواد آلی و تجزیه آن‌ها وجود دارد (Singh and Celin, 2010). ترکیب‌های آلی مونوآروماتیک فرار حاضر در محصول‌های پتروشیمی و نفت خام که بیشتر در کنار هم حضور دارند، عبارتند از بنزن، تولوئن، اتیل بنزن، و زایلن (BTEX). این ترکیب‌ها به‌عنوان عامل‌های سرطان‌زا شناخته شده و برای سلامتی انسان زیان‌بار است. همچنین، با توجه به طبقه‌بندی این ترکیب‌ها آن‌ها به‌عنوان آلاینده‌های اصلی محیط‌زیست، به‌وسیله سازمان حفاظت محیط‌زیست ایالات متحده آمریکا (EPA¹) شناخته شده و حذف آن‌ها از منطقه‌های آلوده از اهمیت بالایی برخوردار است. تجزیه این ترکیب‌ها به دلیل کمبود اکسیژن (Brigmon et al., 2010; Singh et al., 2002) یا گروه جایگزین نیتروژن که می‌تواند سبب افزایش شدت اکسیداسیون یک حلقه گردد، دشوار است. زایلن یک ترکیب فرار و مونوآروماتیک از اجزای اصلی تشکیل‌دهنده مواد نفتی است (Ayat et al., 2017). همچنین زایلن به‌عنوان ماده حلال در سنتز مواد آلی، مواد بهداشتی، و دیگر محصول‌های تولیدی در صنعت کاربردهای فراوانی دارد. این ماده در پساب صنعت‌های شیمیایی و پالایشگاه‌ها نیز یافت می‌شود. میزان فراوان ترکیب‌های زایلن به دلیل نشت از مخازن ولوله‌های زیرزمینی، استفاده از روش‌های نادرست دفع پسماند و

نشت غیر عمد و اتفاقی از مکان‌های دفن زباله، در آب‌های زیرزمینی نیز یافت می‌شود (Bina et al., 2012). این آلاینده‌ها تأثیرهای مخربی بر سلامتی انسان، از جمله سوزش و ناراحتی‌های پوستی، آسیب به اعصاب مرکزی، مشکل‌های تنفسی، سرطان خون، مشکل‌های کلیوی، کبدی، و خونی دارند (Aivalioti et al., 2010; ATSDR, 2007). در دهه‌های گذشته، روش‌های مختلف پالایش خاک از جمله روش‌های زیستی (تخلیه زیستی و گیاه‌پالایی)، شیمیایی (اکسیداسیون شیمیایی و خاک‌شویی)، و فیزیکی (استخراج بخارات خاک و تصفیه حرارتی) برای پالایش خاک و آب‌های زیرزمینی آلوده به BTEX گسترش داده شده است (Firmino et al., 2015; Guo et al., 2012; Jin et al., 2013). با توجه به بررسی‌های انجام شده، به نظر می‌رسد میکروارگانیسم‌ها با قابلیت تجزیه BTEX قادر به پالایش منطقه‌های آلوده هستند. باکتری‌های هوازی با توانایی تجزیه BTEX به‌وفور در طبیعت یافت می‌شوند. پژوهش‌های انجام‌گرفته بر ژنتیک و سوخت‌وساز باکتری‌های تجزیه‌کننده BTEX نشان می‌دهد که در بیشتر موارد باکتری‌های میله‌ای (باسیلی) دارای این قابلیت هستند (Ayat et al., 2017; Aivalioti et al., 2010; ATSDR, 2007). همچنین گونه‌های باکتریایی *Ralstonia* و *Burkholderia* نیز از توانایی تخریب زیستی BTEX برخوردارند. همچنین دیگر میکروارگانیسم‌ها از جمله *Rhodococcus* (Guo et al., 2012; Jin et al., 2013) *Alcaligenes*، *Acinetobacter*، *Brevibacterium* strain T1، *Cladophialophora* sp.، *Nocardia*، *Bacillus* (Pourzamani et al., 2012) *Bordetella*، *Arthrobacter* (Ayat et al., 2017) *Marinobacter*، *Acidovorax*، *Bradyrhizobium* و *Variovorax*، *Aquaspirillum*، *Agrobacterium* و *Stenotrophomonas* نیز از قابلیت تجزیه زیستی BTEX

بدلیل حضور و تجمع پسماندهای صنعتی مرتبط با صنایع نفت و گاز در طی دهه‌های گذشته آلوده شده است. نمونه‌برداری در شهریورماه سال ۱۳۹۵ انجام گرفته است. تعداد نمونه‌های خاک آلوده به پسماندهای صنعتی ۲۴ مورد بود، این نمونه‌ها از عمق ۱۰ و ۲۵ سانتی‌متری سطحی خاک این منطقه جمع‌آوری شد. سپس نمونه‌های جمع‌آوری شده در دما ۴°C نگهداری شده و به آزمایشگاه میکروبی‌شناسی دانشگاه آزاد اسلامی واحد مسجدسلیمان منتقل گردیدند. نمونه‌ها تا زمان جداسازی و استخراج DNA در دمای ۲۰°C ذخیره‌سازی شدند (Stefani et al., 2015). محیط کشت پایه نمکی برای رشد باکتری‌های هوازی مورد استفاده قرار گرفت. این محیط شامل ۴ گرم NaNO_3 ، ۱/۵ گرم KH_2PO_4 ، ۰/۵ گرم Na_2HPO_4 ، ۰/۲ گرم $\text{MgSO}_4 \cdot 7\text{H}_2\text{O}$ ، ۰/۰۱۱ گرم $\text{FeSO}_4 \cdot \text{H}_2\text{O}$ و ۰/۰۱ گرم CaCl_2 در لیتر آب یون‌زدایی بود (Zhao et al., 2017). با تنظیم pH در مقدار ۷، محیط کشت با استفاده از دستگاه اتوکلاو در دمای ۱۲۱°C به مدت ۱۵ دقیقه استریل گردید. سپس ماده زایلین با خلوص ۹۹/۵٪ زایلین استفاده شد که به صورت مجموعه‌ای از انواع زایلین (Mixed Xylene) است که شامل مجموعه‌ای از ارتو و پارا و متا زایلین است (Merck آلمان). در درون ارلن مایر ۲۵۰ میلی‌لیتری به میزان ۱۰۰ میلی‌لیتر محیط پایه نمکی اضافه گردید و سپس تا رسیدن به غلظت حجمی نهایی ۱٪ زایلین (به‌عنوان تنها منبع تأمین‌کننده انرژی و کربن) به محیط استریل شده اضافه شد. پس از آن سویه TY4-HX به صورت هوازی در محیط کشت پایه نمکی، تحت دمای ثابت ۳۰°C، در انکوباتور شیکردار با سرعت گردش ۱۵۰ rpm، و به مدت هفت روز کشت داده شد. سپس نمونه غنی‌سازی شده به یک محیط کشت پایه نمکی جدید و برای گرمادهی مجدد به مدت هفت روز دیگر انتقال یافت. گرمادهی در شرایط اشاره شده در بالا سه بار تکرار گردید. نمونه‌های غنی‌سازی نهایی به پلیت‌های پایه نمکی آگاره حاوی زایلین منتقل شدند (Stefani et al., 2015; Mesgari et al., 2015).

برخوردارند (Yan et al., 2013; Dursun et al., 2005). عامل‌های گوناگونی مانند غلظت زیست‌توده فعال، غلظت آلاینده‌ها، pH، دما، در دسترس بودن مواد مغذی غیر زیستی و گیرنده‌های الکترونی، و سازگاری میکروبی، بر شدت و سرعت تجزیه زیستی BTEX مؤثر هستند. همچنین از فن‌آوری میکروارگانیسم‌های تثبیت‌شده در پالایش زیستی به دلیل افزایش سطح ویژه رشد باکتری‌ها می‌توان استفاده نمود. این امر با بهبود مقاومت در برابر سم‌های شیمیایی و تنش‌های محیطی (مانند pH، دما، مواد سمی) منجر به افزایش بازدهی تجزیه زیستی می‌گردد (Pourzamani et al., 2012; Yan et al., 2013). گرافن به‌عنوان گیرنده، می‌تواند طول عمر جفت‌های الکترون-منفذ را افزایش داده و همچنین سبب افزایش جذب آلاینده‌ها به دلیل برهم‌کنش بین آلاینده‌های زیستی و بخش‌های آروماتیک گرافن شود. در ضمن گرافن به‌عنوان یک عامل تثبیت‌کننده می‌تواند فرآیند تجزیه زیستی BTEX توسط میکروارگانیسم‌ها (که قابلیت تجزیه زیستی ترکیب‌هایی مانند زایلین را دارند) را با افزایش سوخت‌وساز تقویت نماید (Azimi et al., 2016). هدف از این تحقیق، جداسازی سویه بومی باکتری با قابلیت تجزیه زیستی زایلین و همچنین مقایسه تجزیه زیستی زایلین توسط سلول‌های آزاد و تثبیت‌شده توسط اکسید گرافن (GO) است. همچنین، اثرهای غلظت اکسید گرافن و دیگر عامل‌های محیطی مانند pH، دما و غلظت زایلین نیز بر کارایی تجزیه زیستی زایلین ارزیابی می‌گردند.

مواد و روش‌ها

محیط کشت و جداسازی سویه باکتری

سویه تجزیه‌کننده زایلین به نام TY4-HX با استفاده از محیط کشت غنی‌سازی به‌وسیله زایلین به‌عنوان تنها منبع تأمین‌کننده انرژی و کربن از خاک آلوده واقع در منطقه سی برنج مسجدسلیمان (۴۸/۲۸۹۲°N و ۳۱/۹۶۳۴°E) در استان خوزستان ایران جمع‌آوری شد. منطقه مورد مطالعه،



شکل ۱- ارلن های ۲۵۰ میلی لیتری حاوی محیط پایه نمکی محتوی زایلن پس از تلقیح سویه باکتری در انکوباتور
Fig. 1- Erlenmeyer flasks contain 100ml MSM and 1ml xylene in the incubator after microbial inoculation

استفاده از ژل الکتروفورز آگارز ۱٪ پس از رنگ‌آمیزی DNA بررسی شد. توالی DNA تکثیر یافته به‌وسیله‌ی شرکت Microsynth (سوئیس) شناسایی گردید. تحلیل‌های بیوانفورماتیک توسط نرم‌افزار MEGA6، و پایگاه داده EzBioCloud 16S انجام گردید. طراحی درخت‌های تبارشناختی^۵ با استفاده از نرم‌افزار MEGA6 انجام شد (Ranya *et al.*, 2008; Madueno *et al.*, 2011; Yoon *et al.*, 2017).

طراحی آزمایش‌ها و مدل‌سازی

روش سطح پاسخ (RSM) به‌عنوان یک روش آماری قادر به تعیین ارتباط بین پاسخ‌های خاص و گروهی از عامل‌های مدنظر پژوهش است. روش سطح پاسخ به دلیل قابلیت رسم شدن خطی برای یک عامل دلخواه، یا به‌صورت صفحه برای دو عامل دلخواه، به‌عنوان مدلی مناسب در بسیاری از کاربردهای صنعتی معرفی می‌شود. از روش RSM برای تعیین دامنه شرایط عملیاتی که می‌تواند منجر به پاسخ بهینه در یک فرآیند یا عملیات خاص گردد، استفاده می‌شود (Zhao *et al.*, 2017). این روش همچنین ممکن است برای شناسایی شرایط عملیاتی جدید که منجر به بهبود کیفیت محصول نهایی می‌گردد، استفاده شود. تعداد ۳۰ اجرا به همراه ۷ بار تکرار به‌منظور تعیین میزان اولیه pH، دما، غلظت زایلن، و

شناسایی سویه جداسازی شده با استفاده از

تکنیک ژنومی 16s rRNA

تحلیل ریبوتایپینگ^۲ توسط شرکت توپازژن واقع در کرج انجام شد. به‌طور خلاصه، استخراج DNA توسط کیت استخراج DNA ژنومی (cat NO. TKG4001) توسط شرکت توپازژن انجام گرفت. برپایه توصیه‌های شرکت سازنده کیت، ژن 16S rRNA با استفاده از Ribosomal DNA amplification 2X Master mix شماره اختصاصی (cat No TGI4001) و به کمک آغازگرهای عمومی^۳ 27F و همچنین 1492R تکثیر شد. فرآیند آماده‌سازی واکنش‌ها با استفاده از واکنش زنجیره‌ای پلیمرز^۴ و عمل تکثیر ژن موردنظر باکتری مطابق با توصیه شرکت سازنده در مخلوطی از بافر 10xTaq، DNA پلی‌مراز AmpliTaqGold به میزان 1.25 U، مخلوطی از نوکلئیدها به میزان 2 mM، نمک کلرید منیزیم به حجم 25 mM، ۰/۷ میکروگرم DNA و آب دو بار تقطیرشده در حجم نهایی ۵۰ میلی لیتر انجام شد. واکنش PCR با در نظر گرفتن یک چرخه با دمای ۹۴ °C به مدت ۵ دقیقه، ۳۰ چرخه با دمای ۹۴ °C به مدت یک دقیقه، دمای ۵۵ °C به مدت یک دقیقه، و دمای ۷۲ °C به مدت یک دقیقه، و یک چرخه گسترش یافته با دمای ۷۲ °C به مدت ۱۰ دقیقه تنظیم گردید. محصول واکنش با

غلظت اکسید گرافن، و رسیدن به بیشینه تجزیه زیستی زایلن در نقطه مرکزی انتخاب شد. پس از تعیین دامنه میزان بهینه، از یک طراحی کامپوزیت مرکزی (CCD) کامل برای یافتن شرایط بهینه از بین چهار عامل X_1 ، X_2 ، X_3 و X_4 استفاده گردید (Huang *et al.*, 2009; Zhao *et al.*, 2017). روش RSM با چهار فاکتور، و سه سطح طراحی شده توسط CCD برای بهینه‌سازی پاسخ Y (تجزیه زیستی زایلن) به‌عنوان تابعی از چهار متغیر اشاره شده، توسط رابطه زیر بیان شده است:

غلظت اکسید گرافن، و رسیدن به بیشینه تجزیه زیستی زایلن در نقطه مرکزی انتخاب شد. پس از تعیین دامنه میزان بهینه، از یک طراحی کامپوزیت مرکزی (CCD) کامل برای یافتن شرایط بهینه از بین چهار عامل X_1 ، X_2 ، X_3 و X_4 استفاده گردید (Huang *et al.*, 2009; Zhao *et al.*, 2017). روش RSM با چهار فاکتور، و سه سطح طراحی شده توسط CCD برای بهینه‌سازی پاسخ Y (تجزیه زیستی زایلن) به‌عنوان تابعی از چهار متغیر اشاره شده، توسط رابطه زیر بیان شده است:

$$Y = b_0 + b_1X_1 + b_2X_2 + b_3X_3 + b_4X_4 + b_{11}X_1^2 + b_{22}X_2^2 + b_{33}X_3^2 + b_{44}X_4^2$$

در رابطه (۱)، Y پاسخ پیش‌بینی شده، متغیرهای

جدول ۱- سطوح و کد متغیرها برای طراحی کامپوزیت مرکزی (CCD)
Table 1. Levels and codes of variables for central composite design (CCD)

Factor	Name	Units	Type	Low Actual	High Actual	Low Coded	High Coded
X1	GO concentration	g/l	Numeric	0.2	0.5	-1	1
X2	Xylene concentration	g/l	Numeric	1	2	-1	1
X3	pH		Numeric	6	8	-1	1
X4	Temperature	°C	Numeric	24	40	-1	1

پیش‌بینی ترکیب بهینه محیط کشت مورد استفاده در تجزیه زیستی زایلن، استفاده شد. تجزیه زیستی زایلن با حل نمودن باقیمانده زایلن موجود در محیط کشت در ۳ میلی‌لیتر ماده n -هگزان محلول گشته و خوانش جذب نوری در طول موج ۲۰۰-۴۰۰ نانومتر به‌منظور تعیین میزان تجزیه زایلن انجام شد. غلظت‌های زایلن به‌طور متناوب نیز به‌وسیله روش میکرو استخراج فاز جامد، توسط کروماتوگرافی گازی آنالیز شد.

آزمایش‌ها کروماتوگرافی گازی با دستگاه GC-CP-3800 (تولید شرکت Varian استرالیا) مجهز به شناساگر یونیزاسیون شعله (FID)، انژکتور Split/Splitless ۱۷۷، یک دستگاه Cp-spill 8 CB (30m, 0.32mm, 0.25 μ m)

روش‌های ارزیابی و تعیین میزان تجزیه زیستی زایلن

باکتری‌های جاسازی شده به مدت ۲۴ ساعت در دمای ۳۲°C، با سرعت گردش ۱۵۰ rpm، در ارلن مایر ۲۵۰ میلی‌لیتری شامل ۱۰۰ میلی‌لیتر محیط کشت پایه نمکی به همراه ۱٪ حجمی زایلن در شرایط هوازای رشد داده شدند. باکتری‌ها توسط دستگاه سانتریفیوژ (g ۱۰۰۰۰ در ۱۰ دقیقه) برداشت شده، سپس دو بار در محیط استریل پایه نمکی شسته شده و در نهایت دوباره در یک‌دهم حجم محیط کشت به‌صورت سوسپانسیون بازگردانده می‌شود. سوسپانسیون باکتری‌ها هم‌ارز باکدورت ۰/۵ مک فارلند به‌عنوان یک ماده تلقیحی برای

و هلیوم به‌عنوان یک گاز حامل با دبی ثابت ۲ ml/min، انجام گردید. بازه زمانی آزمایش‌ها کروماتوگرافی در بازه دمایی ۴۰°C تا ۱۵۰°C، ۱۰ دقیقه تنظیم شد. ترکیب‌ها از طریق مصرف غیر زیستی (Abiotic) در طول دوره زمانی بلندمدت گرمادهی، جدا شدند. تجزیه زیستی زایلن با اندازه‌گیری محوشدگی تدریجی این ترکیب‌ها در محلول آزمایشی شامل *Sphingomonas* و در محلول کنترلی تحت شرایط یکسان و در نبود *Sphingomonas*، محاسبه گردید. نتایج به‌صورت درصد باقیمانده از زایلن برحسب $100 * (C_t/C_0)$ است. به‌طوری‌که C_t غلظت زایلن در محلول آزمایشی شامل *Sphingomonas*، و C_0 غلظت زایلن در محلول کنترلی غیر زیستی است (Berlendis *et al.*, 2010; Jean *et al.*, 2008).

تعیین مشخصات با استفاده از SEM و FTIR

اکسید گرافن به همراه سویه باکتریایی چسبیده به آن، توسط میکروسکوپ الکترونی روبشی و طیف‌سنجی تبدیل فوریه مادون‌قرمز بررسی گردید. برای تحلیل میکروسکوپی، GO سه بار با آب مقطر استریل‌شده شسته شد تا سلول‌هایی که به آن متصل نیستند، جدا شوند. سپس با استفاده از دستگاه SEM مشاهده و بررسی شدند. ساختار زیستی سطح GO توسط روش FTIR مورد بررسی قرار گرفت. طیف‌های مختلف با دقت‌های تفکیک 4 cm^{-1} و 0.1 cm^{-1} ، بین مقادیر $4000 - 500 \text{ cm}^{-1}$ با استفاده از روش طیف‌سنجی Perkin Elmer Spectrum two series model instrumental analysis with KBr disc method مورد بررسی و شناسایی قرار گرفتند (Azimi *et al.*, 2016).

نتایج و بحث

ویژگی‌های میکروارگانیسم‌های تجزیه‌کننده

زایلن

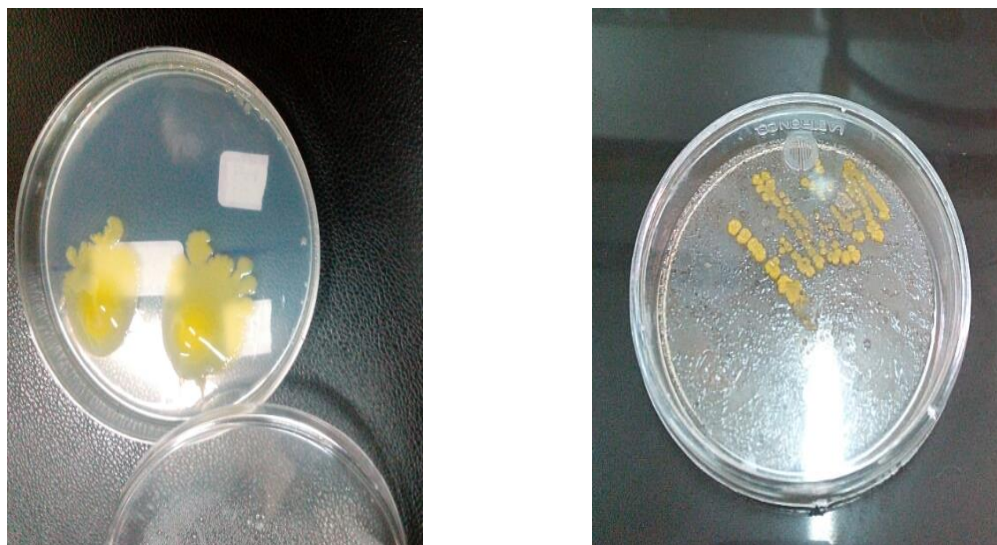
پس از نمونه‌برداری از خاک‌آلوده، بر پایه بهترین فرآیند کشت و رشد باکتری در محیط کشت پایه نمکی حاوی زایلن با شرایط بهینه، سویه‌های باکتریایی که قادر به تجزیه زیستی زایلن بودند، انتخاب شدند (شکل ۲).

آزماده‌سازی و ویژگی‌های اکسید گرافن
پودر اکسید گرافن (GO) با خلوص بالا (۹۹/۹۹۹۹٪) با ۱۰-۶ لایه اکسید گرافن از شرکت US Research Nanomaterials INC با قطر داخلی ۵-۱۰ nm و قطر خارجی ۳۰-۲۰ nm، و سطح بالای $110 \text{ m}^2/\text{g}$ برای آزمایش سنتز خریداری شد. محلولی از GO با غلظت ۱ g/l ۰/۰۵ تهیه شد و به مدت ۱۵ دقیقه تحت تأثیر امواج فراصوت^۱ قرار گرفت. سپس محلول GO به محلول سیستین ۰/۲ M که به سامانه بازگشت ارتباط داده شد، اضافه گردید. محلول GO به اکسید گرافن احیاشده تبدیل گردید (rGO) (Azimi *et al.*, 2016). شناسایی GO به کمک میکروسکوپ الکترونی روبشی (SEM, Seron model mira3) و دستگاه طیف‌سنجی تبدیل فوریه مادون‌قرمز (FTIR) محصول شرکت Perkin Elmer انجام شد.

تثبیت باکتریایی با استفاده از اکسید گرافن

کاهش یافته جهت تجزیه زیستی زایلن

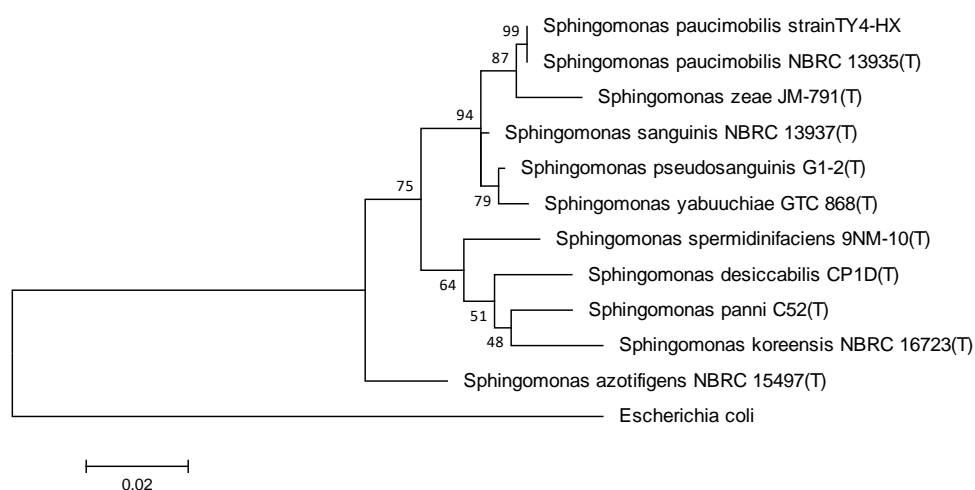
میزان متفاوتی از اکسید گرافن (0.05, 0.2, 0.35)



شکل ۲- کلونی‌های سویه TY4-HX از *Sphingomonas paucimobilis* در پلیت آگار محیط پایه نمکی حاوی زایلین
 Fig. 2- Colonies of *Sphingomonas paucimobilis* strain TY4-HX on MSM xylene-containing agar plates

آلی مونوآروماتیک (MAHs) و مواد آلی پلی‌آروماتیک (PAHs) استفاده شد (Story *et al.*, 2004). باکتری *Sphingomonas* به دلیل کاربردهای احتمالی که در تیمارهای زیستی، همواره در مطالعه‌های پژوهشی مورد توجه بوده است. از این باکتری در پاک‌سازی آلودگی‌های محیط زیستی استفاده شده است. شکل ۲ نشان‌دهنده درخت تبارشناختی سویه TY4-HX از باکتری *Sphingomonas paucimobilis* است که با استفاده از نسخه ۶ نرم‌افزار MEGA آماده شده است (Yoon *et al.*, 2017).

سویه باکتری جداسازی شده گرم منفی، حاوی رنگ‌دانه‌های زرد، میله‌ای شکل و متحرک، با تازک قطبی منفرد بودند. نتایج آزمایش‌های کاتالاز، هیدرولیز اسکولین، بتا گالاکتوزیداز، اکسیداز و تجزیه گلوکز برای تمامی سویه‌های جداسازی شده مثبت بود. مقایسه توالی ژن 16S rDNA از محیط ایزوله با توالی بانک ژن نشان داد که سویه جداسازی شده دارای بیشترین شباهت (۹۹٪) به سویه TY4-HX از باکتری *Sphingomonas paucimobilis* است. این جنس باکتری برای تجزیه مواد آلی آروماتیک مانند مواد



شکل ۳- درخت تبارشناختی بر اساس توالی 16S rDNA برای سویه TY4-HX از باکتری *Sphingomonas paucimobilis* و دیگر سویه‌های مرتبط

Fig. 3- A phylogenetic tree based on the 16S rDNA of *Sphingomonas paucimobilis* strain TY4-HX and related strains

توسعه مدل RSM

طراحی RSM برای به دست آوردن میزان دقیق فاکتورها استفاده شده است. به صورتی که X1 غلظت اکسید گرافن، X2 غلظت زایلن، X3 بیانگر pH، R1 برابر با Actule value (Xylene degradation)، R2 میزان پیش‌بینی شده است (جدول ۲).

Response Surface Methodology (RSM) یک رویکرد آماری است که فاکتورهای تاثیرگذار را بصورت منفرد و متقابل شامل غلظت اکسید گرافن، غلظت زایلن، pH، دما برای تجزیه زایلن مورد بررسی قرار می‌دهد. از

جدول ۲- طراحی RSM برای هر یک از سه عامل و نتایج تجربی آنها

Table 2. RSM design for the three factors and their experimental results

std	Run	X ₁	X ₂	X ₃	X ₄	R ₁	R ₂
18	1	0.65	1.5	7	32	86.30	88.92
16	2	0.50	2.0	8	40	55.00	57.24
14	3	0.50	1.0	8	40	65.00	59.14
12	4	0.50	2.0	6	40	53.70	56.39
28	5	0.35	1.5	7	32	73.00	73.00
22	6	0.35	1.5	9	32	38.00	38.60
2	7	0.50	1.0	6	24	52.00	50.82
10	8	0.50	1.0	6	40	62.00	59.59
7	9	0.20	2.0	8	24	45.00	44.36
8	10	0.50	2.0	8	24	50.40	49.92
19	11	0.35	0.5	7	32	38.00	43.95
11	12	0.20	2.0	6	40	36.50	32.57
13	13	0.20	1.0	8	40	50.00	50.18
25	14	0.35	1.5	7	32	73.00	73.00
30	15	0.35	1.5	7	32	73.00	73.00
29	16	0.35	1.5	7	32	73.00	73.00
5	17	0.20	1.0	8	24	37.70	35.96
15	18	0.20	2.0	8	40	46.50	48.63
20	19	0.35	2.5	7	32	53.00	49.15
23	20	0.35	1.5	7	16	23.00	24.38
9	21	0.20	1.0	6	40	34.00	35.42
27	22	0.35	1.5	7	32	73.00	73.00
6	23	0.50	1.0	8	24	41.00	41.88
17	24	0.05	1.5	7	32	59.70	59.18
4	25	0.50	2.0	6	24	60.80	57.57
3	26	0.20	2.0	6	24	30.00	36.80
21	27	0.35	1.5	5	32	30.00	31.50
26	28	0.35	1.5	7	32	73.00	73.00
1	29	0.20	1.0	6	24	35.00	29.71
24	30	0.35	1.5	7	48	36.70	37.42

تخریب زیستی زایلن

فکتهورها در تجزیه زیستی زایلن است. دقت مدل مرتبه چهار تجزیه زیستی زایلن با استفاده از مدل ANOVA نیز بررسی شد. در جدول ۳ خلاصه‌ای از ویژگی‌های مدل مرتبه دو که شامل جمله‌های خطی، برهم‌کنش دو فاکتوری، و توان دو است، را نشان می‌دهد. مدل‌های خطی و برهم‌کنشی اهمیت بالایی در تجزیه زیستی زایلن دارد. همچنین شکل‌های چهار الف و ب، پنج الف و ب و شش الف و ب نشانگر منحنی خطی و فضایی معنا دار در تجزیه زایلن براساس نرم افزار RSM است.

با استفاده از تحلیل‌های رگرسیون مختلف بر داده‌های تجربی به دست آمده حاصل از معادله (۱) و با تخمین ضرایب رگرسیون، معادله‌ای از مرتبه دو (معادله ۲) که نشان‌دهنده‌ی تجزیه زیستی زایلن است، به شرح زیر به دست آمد:

$$Y = 0.73 + 7.43X_1 + 1.78X_3 + 3.26X_4 - 6.61X_2^2 - 9.49X_3^2 - 10.52X_4^2 - 3.8X_1X_3 - 2.49X_2X_4 + 2.13X_3X_4 \quad (2)$$

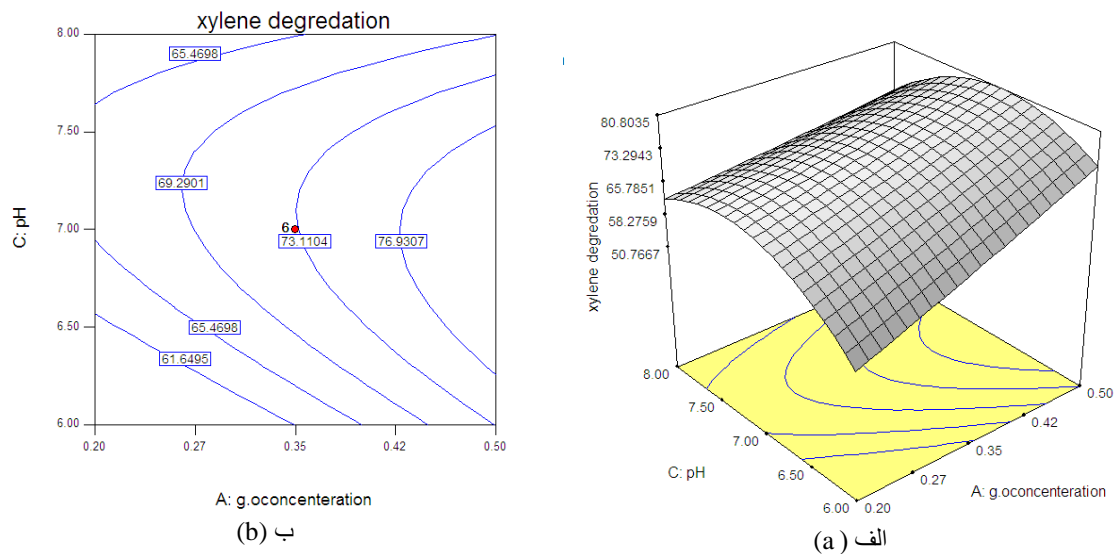
سطوح بهینه پیش‌بینی شده از X_1, X_2, X_3 و X_4 با استفاده از تحلیل رگرسیونی (معادله ۲) به دست آمده است، به طوری که میزان پیش‌بینی شده به ترتیب برای غلظت اکسید گرافن، PH، دما و غلظت زایلن عبارت‌اند از:

جدول ۳- تحلیل واریانس (ANOVA) مدل مرتبه دو برای زایلن

Table 3. ANOVA of the quadratic model for xylene

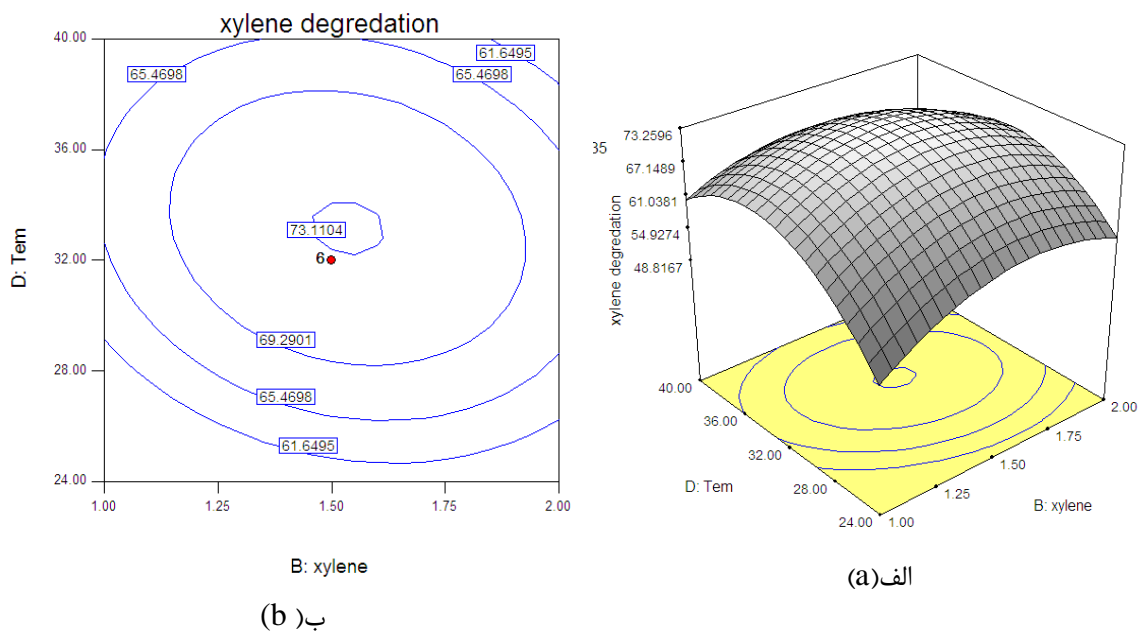
Source	Sum of Squares	DF	Mean Square	F Value	Prob > F
Model	7713.19	14	550.94	36.35	< 0.0001
	14	550.			significant
	94	36.3			
	5	<			
	0.0001				
A	1326.11	1	550.94	87.50	< 0.0001
B	40.56	1	1326.11	2.68	0.1227
C	75.62	1	40.56	4.99	0.0412
D	254.80	1	75.62	16.81	0.0009
A2	1.89	1	254.80	0.12	0.7289
B2	1199.32	1	1.89	79.14	< 0.0001
C2	2468.92	1	1199.32	162.91	< 0.0001
D2	3038.42	1	2468.92	200.49	< 0.0001
AB	0.12	1	3038.42	8.083E-003	0.9296
AC	231.04	1	0.12	15.25	0.0014
AD	9.30	1	231.04	0.61	0.4455
BC	1.69	1	9.30	0.11	0.7430
BD	99.00	1	1.69	6.53	0.0219
CD	72.25	1	99.00	4.77	0.0453
Residual	227.32	15	72.25		
Lack of Fit	227.32	10	15.15		
Pure Error	0.000	5	22.73		
Cor Total	7940.51	29			

The Model F-value of 36.35 implies the model is significant. There is only a 0.01% chance that a "Model F-Value" this large could occur due to noise. Values of "Prob > F" less than 0.0500 indicate model terms are significant.



شکل ۴- طراحی سطح پاسخ تاثیر متقابل pH و غلظت اکسیدگرافن بر میزان تجزیه زیستی زایلن (الف: نمودار سطحی، ب: نمودار شماری)

Fig. 4- Effect of the level of interaction between pH and graphene oxide concentration on total xylene removal: (a) surface plot and (b) contour plot



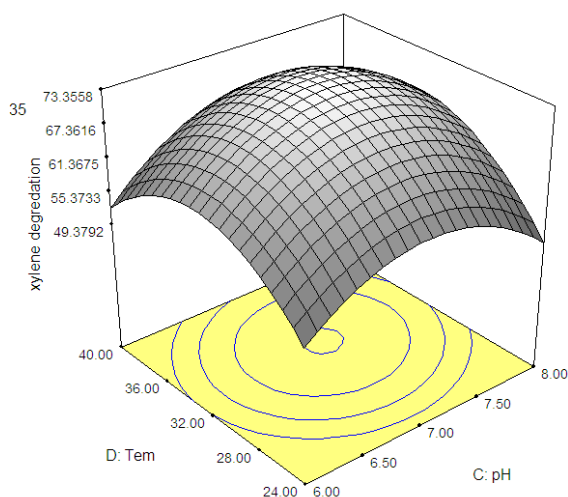
شکل ۵- طراحی سطح پاسخ تاثیر متقابل دما و غلظت زایلن بر میزان تجزیه زیستی زایلن (الف: نمودار سطحی، ب: نمودار شماری)

Fig. 5- Effect of the level of interaction between of temperature and xylene concentration on total xylene removal: (a) surface plot and (b) contour plot

میزان افزایش و با کاهش و یا افزایش pH، میزان تجزیه زیستی زایلن کاهش می‌یابد. همچنین اثرهای متقابل pH و غلظت زایلن نیز در این بررسی مشخص گردید

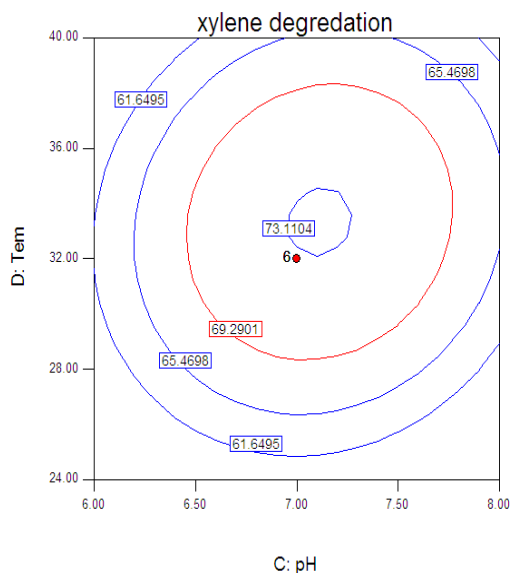
شکل ۴ نشان می‌دهد که در طراحی سطح پاسخ، تاثیر غلظت اکسید گرافن و pH چگونه بر میزان تجزیه زیستی زایلن موثر می‌باشد و با رسیدن pH به عدد ۷ این

و یا افزایش دما از دمای بهینه، میزان تجزیه زیستی زایلن کاهش می‌یابد. همچنین اثرهای متقابل دما و غلظت زایلن نیز در این بررسی مشخص شد.



ب) (b)

شکل ۵ نشان می‌دهد که در طراحی سطح پاسخ، تاثیر غلظت زایلن و دما چگونه بر میزان تجزیه زیستی زایلن موثر است و با رسیدن دما به ۳۲ درجه سانتی‌گراد این میزان افزایش و با کاهش



الف) (a)

شکل ۶: طراحی سطح پاسخ تاثیر متقابل دما و pH بر میزان تجزیه زیستی زایلن (الف: نمودار سطح، ب: نمودار شمارشی)
Fig. 6- Effect of the level of interaction between of pH and temperature on total xylene removal: (a) surface plot and (b) contour plot

لایه‌های منظم اکسید گرافن باشد. همچنین بنا به شکل ۷ مشاهده شد که تغییر زیادی در ریخت‌شناسی این سوبه باکتری پس از دوره گرمادهی همراه با اکسید گرافن وجود ندارد. تصاویر SEM نشان‌داد که لایه‌های اکسید گرافن فقط به‌واسطه مکانیسم غربال‌گری و بدون خسارت به دیواره سلول، سلول‌های باکتریایی را جدا می‌کنند. بنا بر پژوهش‌های مشابه صورت گرفته انتظار می‌رفت، که هیچ تغییری در ساختار اکسید گرافن پس از تثبیت باکتریایی رخ نداده باشد، که این موضوع از امتیازهای این روش محسوب می‌شود (Kolangikhah *et al.*, 2012). مشاهده‌های به‌دست آمده از این تحقیق متفاوت از بررسی‌های مشابه است. به این دلیل که استفاده از نانولوله‌های کربنی غیر آرایه‌ای در آن پژوهش‌ها، غشای دیواره سلولی به

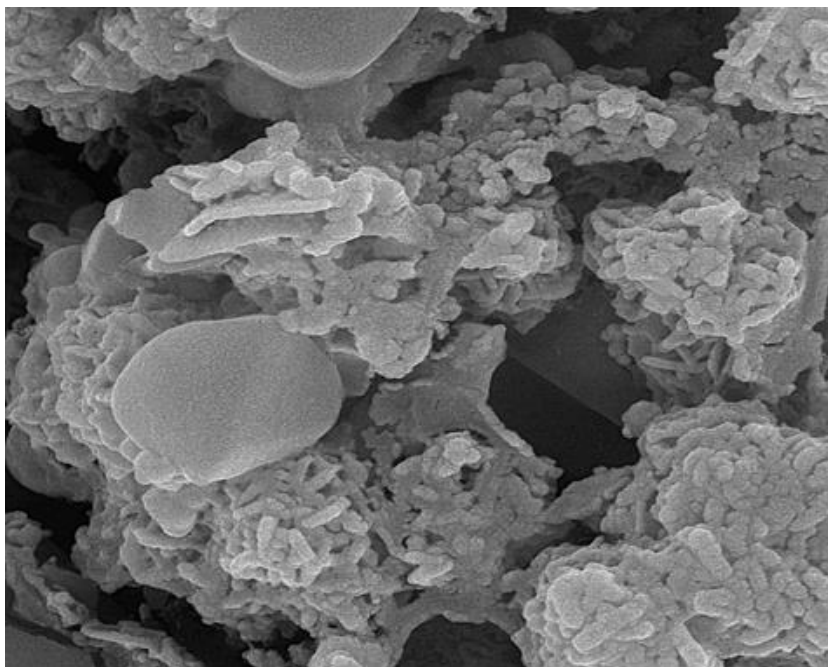
شکل ۶ نشان می‌دهد که در طراحی سطح پاسخ، اثرهای pH و دما چگونه بر میزان تجزیه زیستی زایلن موثر است و با رسیدن دما به ۳۲ درجه سانتی‌گراد این میزان افزایش و با کاهش دما از دمای بهینه، میزان تجزیه زیستی زایلن کاهش می‌یابد. همچنین تاثیر متقابل دما و pH نیز در این بررسی مشخص شد.

نتایج آنالیزهای SEM و FTIR

اتصال باکتریایی بر سطح اکسید گرافن در حضور ۱/۵ گرم بر لیتر زایلن با استفاده از دستگاه SEM مشاهده شد. شکل ۷ بیانگر باکتری‌های محصور شده در میان توده‌های منظم اکسید گرافن است، که می‌تواند ناشی از برهم‌کنش سلول‌های باکتریایی با سطح خارجی

آسیب‌های اشاره شده در این بررسی دیده نشدند (شکل ۷).

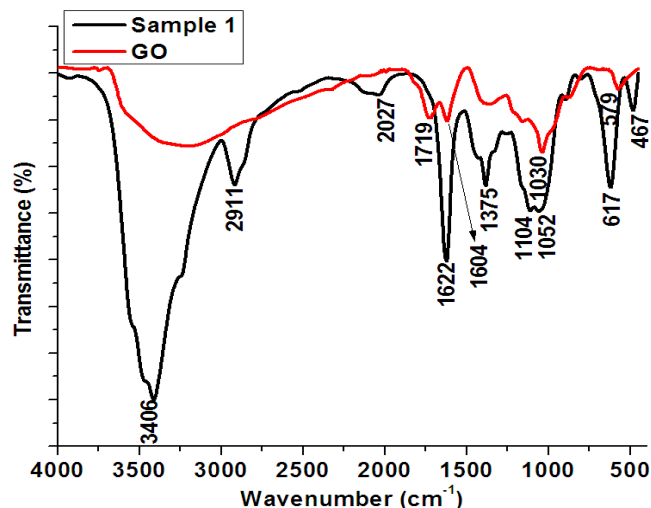
دلیل مکانیسم‌های سم‌زا مانند تنش‌های اکسیداتیو و آسیب‌های فیزیکی، آسیب‌دیده و از هم‌گسیخته می‌شود (Nel *et al.*, 2004). طبق نتایج حاصل در این تحقیق،



شکل ۷- تصویر حاصل از میکروسکوپ الکترونی (با تفکیک ۱ μm) از G.O/Sphingomonas paucimobilis strain TY4-HX.A. محدوده A لایه‌های اکسید گرافن، و محدوده B سویه TY4-HX از باکتری Sphingomonas paucimobilis .
7- Scanning electron microscopy image (1 μm resolution) of the graphene oxide (a) and Sphingomonas paucimobilis strain TY4-HX (b)

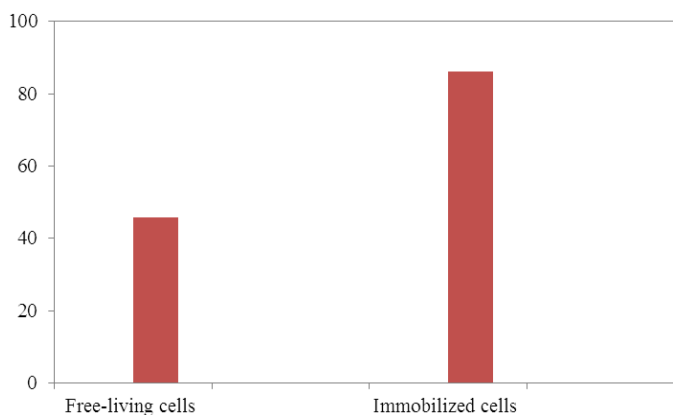
شکل ۸ مقایسه کل طیف GO و G.O/Sphingomonas paucimobilis strain TY4-HX.A را نشان می‌دهد. این طیف‌نگاری FTIR از محصول‌ها و لایه‌های سالم اکسید گرافن به‌عمل‌آمده است. طبق این طیف‌نگاری برای اکسید گرافن میزان بیشینه به مرکز 3232 cm^{-1} به ارتعاش و کشسانی مولکول O-H مرتبط است. به‌عبارت‌دیگر، میزان بیشینه در 1719 cm^{-1} ، 1604 cm^{-1} ، 1367 cm^{-1} و 1271 cm^{-1} به کشسانی C=O، اوربیتال هیبریدی $2sp$ برای C=C و باند O-H، کشسانی C-OH و کشسانی C-O-O مربوط است (Nouri *et al.*, 2017). به‌علاوه، میزان بیشینه در 1110 cm^{-1} و 1104 cm^{-1} می‌توانند به کشسانی C-O از گروه‌های آلکوکسی و اپوکسی مرتبط باشد (Garrigues *et al.*, 1992). بنا به شکل مشاهده شد که پیک‌های بیشینه لایه‌های اکسید گرافن دارای انحراف هستند که نشان‌دهنده برهم‌کنش بین زایلن، سویه باکتری و لایه‌های اکسید گرافن است. البته برخی از پیک‌های مشاهده‌شده در 617 cm^{-1} و 1104 cm^{-1} متعلق به زایلن است (Nouri *et al.*, 2017). همچنین پیک مشاهده‌شده در 2911 cm^{-1} به اکسید گرافن کاهش‌یافته (rGO) که در بررسی‌های پیشین نیز دیده‌شد، مرتبط است (Nel *et al.*, 2004). بنابراین، نتایج FTIR نشان داد که یک برهم‌کنش خوب بین این باکتری‌ها و لایه‌های اکسید گرافن رخ داده است و لایه‌های اکسید گرافن در طول فرآیند تجزیه زیستی به لایه‌های اکسید گرافن کاهش‌یافته (rGO) تغییر یافتند.

شکل ۸ مقایسه کل طیف GO و G.O/Sphingomonas paucimobilis strain TY4-HX.A را نشان می‌دهد. این طیف‌نگاری FTIR از محصول‌ها و لایه‌های سالم اکسید گرافن به‌عمل‌آمده است. طبق این طیف‌نگاری برای اکسید گرافن میزان بیشینه به مرکز 3232 cm^{-1} به ارتعاش و کشسانی مولکول O-H مرتبط است. به‌عبارت‌دیگر، میزان بیشینه در 1719 cm^{-1} ، 1604 cm^{-1} ، 1367 cm^{-1} و 1271 cm^{-1} به کشسانی C=O، اوربیتال هیبریدی $2sp$ برای C=C و باند O-H، کشسانی C-OH و کشسانی C-O-O مربوط است (Nouri *et al.*, 2017). به‌علاوه، میزان بیشینه در 1110 cm^{-1} و 1104 cm^{-1} می‌توانند به کشسانی C-O از گروه‌های آلکوکسی و اپوکسی مرتبط باشد (Garrigues *et al.*, 1992).



شکل ۸- طیف فرسرخ G.O/Spingomonas paucimobilis strain TY4-HX.A

Fig. 8- The infrared spectrum of the graphene oxide/ Spingomonas paucimobilis strain TY4-HX



شکل ۹- مقایسه درصد حذف زایلن با سلول‌های آزاد و تثبیت‌شده سویه TY4-HX از باکتری Spingomonas paucimobilis با اکسیدگرافن

Fig. 9- The comparison of xylene removal percentage by free-living cells and immobilized cells of Spingomonas paucimobilis strain TY4-HX on graphene oxide

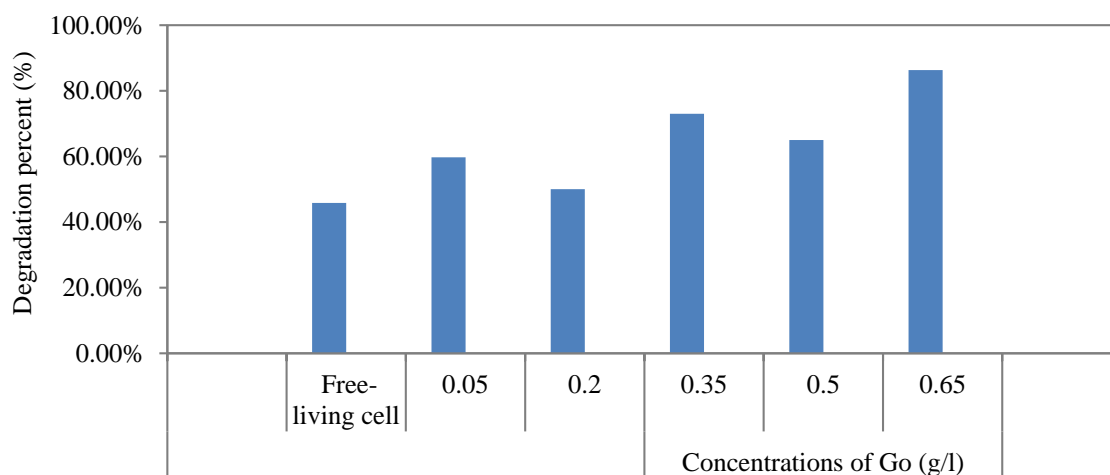
غلظت اولیه ۱/۵ گرم بر لیتر به‌طور قابل‌ملاحظه‌ای و به میزان ۴۵/۸٪ در حضور سلول‌های آزاد و بیش از ۸۶/۳٪ در حضور سلول‌های تثبیت‌شده سویه TY4-HX از باکتری *Spingomonas paucimobilis* دچار تجزیه زیستی گردید (شکل ۹ ب). پژوهش‌های مشابه نشان داده است که باکتری *Bacillus cereus WJ1* با الکترودهای گرافن چندلایه‌ای قادر به تجزیه زیستی فنل بوده و نیز امکان تکرارپذیری آن را افزایش دادند. همچنین گرافن، کارایی بهتری در جذب فنل نشان داد. مولکول‌های زایلن با بار الکتریکی مثبت، قادر به جذب مولکول‌های با بار منفی

مقایسه عملکرد حذف زیستی زایلن بین سویه آزاد و تثبیت‌شده

فرآیند حذف ۱/۵ گرم بر لیتر از زایلن با استفاده از سلول‌های آزاد و تثبیت‌شده سویه TY4-HX با میزان‌های مختلف از اکسید گرافن با pH اولیه ۷، دمای ۳۲ °C، در طول ۲۴ ساعت و در آنکوباتور شیکردار با سرعت گردش rpm ۱۵۰ مطالعه شده است در پایین (شکل ۹ الف). نیز، درصد بالاتری از حذف زایلن حین تثبیت سلول‌ها با غلظت ۰/۶۵ گرم بر لیتر از اکسید گرافن مشاهده شده است. در این بررسی زایلن تحت شرایط pH برابر با ۷، دمای ۳۲ °C و

دلیل تشدید عملکرد جذب زایلن به‌وسیله‌ی سویه باکتری و اکسید گرافن و همچنین به سبب واکنش دهندگی گیرندگی الکترون حلقه زایلن و دیواره سلولی، سویه باکتری باشد.

اکسید گرافن بودند (Yan *et al.*, 2013). اکسید گرافن یک جاذب مؤثر ترکیب‌های BTEX با قابلیت قابل قبول در حذف این ترکیب‌ها از پساب‌ها نیز بود (Pourmand *et al.*, 2015; Behzadi *et al.*, 2015). مکانیسم جذب زایلن می‌تواند به



شکل ۱۰- مقایسه درصد حذف زایلن با سلول‌های آزاد و تثبیت شده سویه TY4-HX از باکتری *Sphingomonas paucimobilis* با غلظت‌های مختلف اکسید گرافن

Fig. ۱۰- The Comparison of Xylene removal percentage by free-living cells and immobilized cells of *Sphingomonas paucimobilis* strain TY4-HX with GO

گرافن طی ۲۴ ساعت بودند. نتایج بیانگر عملکرد بهتر باکتری‌های تثبیت‌شده در تجزیه زیستی زایلن در مقایسه با باکتری‌های آزاد به دلیل حضور گروه کربوکسیلیک سطحی اکسید گرافن است. با استفاده از روش RSM، میزان بهینه pH، دما و غلظت زایلن برای تجزیه زیستی آن به کمک سلول‌های تثبیت‌شده و آزاد به ترتیب برابر است با ۷، ۳۲ °C و ۱/۵ گرم بر لیتر تعیین شد. ویژگی‌های منحصر به فرد اکسید گرافن از جمله ایجاد سطح بسیار مناسب برای اتصال و واکنش با ترکیب‌های معدنی و آلی و زدودن این ترکیب‌ها و نیز تثبیت میکروارگانیسم‌ها مانند باکتری‌های تجزیه‌کننده ترکیب‌های آلی نظیر اسفنگوموناس، این ترکیب را به‌عنوان یک ماده با قابلیت بالا معرفی می‌کند که در پژوهش‌های آینده برای بهبود کارایی و سرعت تجزیه‌پذیری جایگاه ویژه‌ای خواهد داشت.

نتیجه‌گیری

در این تحقیق تجزیه زیستی زایلن با استفاده از سویه TY4-HX از باکتری *Sphingomonas paucimobilis* که از خاک آلوده به پسماندهای صنعتی واقع در شهرستان مسجدسلیمان در استان خوزستان جداسازی شد، بررسی گردید. باکتری تجزیه‌کننده زایلن با فعالیت بالا در عمل تجزیه زیستی و مقاومت زیاد در برابر غلظت‌های متفاوت از زایلن، دارای قابلیت حذف زیستی زایلن در محیط کشت پایه نمکی مایع به میزان ۴۵/۸٪ در بازه زمانی ۲۴ ساعت بود. به‌علاوه از اکسید گرافن برای تثبیت سویه TY4-HX استفاده شد. بررسی نتایج به‌دست آمده از FTIR و SEM نشان داد که این سویه در طول دوره رشد باکتریایی خود قادر به چسبیدن به سطح اکسید گرافن است. سلول‌های تثبیت‌شده با پایداری بهتری قادر به تجزیه زیستی زایلن به میزان ۸۶/۳٪ با غلظت اولیه ۰/۶۵ گرم بر لیتر از اکسید

پی‌نوشت‌ها

- 1 Environmental Protection Agency
- 2 Ribotyping
- 3 General primers
- 4 Polymerase chain reaction (PCR)
- 5 Genealogy
- 6 Ultrasonic waves

Aivalioti, M., Vamvasakis, I. and Gidarakos, E., 2010. BTEX and MTBE adsorption onto raw and thermally modified diatomite. *Journal of Hazardous Materials*. 178 (1-3), 136-43.

ATSDR., 2007. Interaction profile for Benzene, ethylbenzene, toluene and Xylene (BTEX) Agency for Toxic substances and disease Registry. US Department of Health Human Services, Atlanta.

Ayat, E.E., Muftah, T., El-Naas, H. and Janice A.A., 2017. Biodegradation of BTEX: optimization through response surface methodology. *American Journal of Engineering and Applied Sciences*. 10 (1), 20-31.

Azimi, H.R., Ghoranneviss. M. and Elahi, M., 2016. Excellent photovoltaic and UV detector applications of ZnS/rGO nanocomposites synthesized by a green method. *Ceramics International*, 42(12), 14094–14099.

Behzadi, M. and Mirzaei, M., 2016. Poly (o-anisidine)/graphene oxide nano sheets composite as a coating for the headspace solid-phase microextraction of benzene, toluene, ethylbenzene and Xylenes. *Journal of Chromatography A*. 1443(22), 35–42.

Berlendis. S., Lascourreges, J., Schraauwers, B., Sivadon, P. and Mago, M.T., 2010. Anaerobic biodegradation of BTEX by original bacterial communities from an underground gas storage aquifer. *Environmental Science & Technology*. 44(9), 3621–3628.

Bina, B., Amin, M.M., Rashidi, A. and

سپاسگزاری

نگارندگان این مقاله از دانشگاه آزاد اسلامی واحد شیراز و دانشگاه آزاد اسلامی واحد مسجدسلیمان به دلیل حمایت از این تحقیق سپاسگزاری می‌نمایند.

منابع

Pourzamani, H., 2012. Benzene and toluene removal by carbon nanotubes from aqueous solution. *Archives of Environmental Protection*. 38(1), 3-35.

Brigmon, R., Camper, D. and Stutzenberger, F., 2002. Bioremediation of compounds hazardous health and the environment. *Progress in Industrial microbiology*. 36, 1-28.

Dursun, A.Y. and Tepe, O., 2005. Internal mass transfer effect on biodegradation of phenol by *Ca-alginate immobilized Ralstonia eutropha*. *Journal of Hazardous Materials*. 126(1-3), 105-111.

Firmino, P.I.M., Farias, R.S., Buarque, P.M.C. Costa, M.C., Rodríguez, E., Lopes, A.C. and dos Santos, A.B., 2015. Engineering and microbiological aspects of BTEX removal in bioreactors under sulfate-reducing conditions. *Chemical Engineering Journal*. 260, 503-512.

Garrigues, S., Galignani, M. and De la Guardia. M., 1992. Simultaneous determination of *ortho*-, *meta*- and *para*-Xylene by flow injection-Fourier transform infrared spectroscopy. *Analyst*. 117, 1849-1853.

Guo, H., Yao, J., Chen, H., Wang, J., Masakorala, K., Jin, Y., Richnow, H.H. and Blake, R.E., 2012. Substrate interactions during biodegradation of benzene/alkyl benzene mixtures by *Rhodococcus* sp. *ustb-1*. *International Biodeterioration & Biodegradation*. 75, 124-130

Huang, W., Xue, A., Niu, H., Jia, Z. and Wang, J., 2009. Optimised ultrasonic-assisted extraction of

- flavonoids from Folium eucommiae and evaluation of antioxidant activity in multi-test systems in vitro Food Chemistry. 114(3), 1147–1154.
- Jean, j., Lee, M.K., Wang, S.M., Chattopadhyay, P. and Maity, J.P., 2008. Effects of inorganic nutrient levels on the biodegradation of benzene, toluene, and Xylene (BTX) by Pseudomonas spp. in a laboratory porous media sand aquifer model. *Bioresource Technology*. 99(16), 7807–7815.
- Jin, H.M., Choi, E.J. and Jeon, C.O., 2013. Isolation of a BTEX-degrading bacterium, Janibacter sp. SB2, from a sea-tidal flat and optimization of biodegradation conditions. *Bioresource Technology*. 145, 57-64.
- Kolangikhah, M., Maghrebi, M., Ghazvini, K. and Farhadian, N., 2012. Separation of Salmonella typhimurium bacteria from water using MWCNTs arrays. *International Journal of Nanoscience and Nanotechnology*. 8(1), 23-10.
- Madueno, L., Coppotelli, B.M., Alvarez, H.M. and Morelli, I.S., 2011. Isolation and characterization of indigenous soil bacteria for bioaugmentation of PAH contaminated soil of semiarid Patagonia, Argentina. *International Biodeterioration & Biodegradation*. 65(2), 345-351.
- Mesgari Shadi. A., Yaghmaei. S., Vafaei. F., Khataee. A. and Hejazi. M., 2015. Degradation of benzene, toluene, and xylene (BTX) from aqueous solution by isolated bacteria from contaminated sites. *Research on Chemical Intermediates*. 41(1), 265–275.
- Nel, A., Xia, T., Madler, L. and Li, N., 2006. Toxin potential of material at the nano level. *Journal Science*. 311(5761), 622 -627
- Nouri.M., Moghaddam Saray.A., Azimi. H.R. and Yousefi. R., 2017. High solar-light photocatalytic activity of using Cu₃Se₂/rGO nanocomposites synthesized by a green co-precipitation method. *Solid State Sciences*. 73, 7-12.
- Pourmand, S., Abdouss, M. and Rashidi, A.M., 2015. Preparation of nanoporous graphene via nanoporous zincoxide and its application as a nano adsorbent for benzene, toluene and xylenes removal. *International Journal of Environmental Research*. 9(4), 1269-1276.
- Pourzamani, H.R., Bina, B., Rashidi, A.M. and Amin, M.M., 2012. Performance of raw and regenerated multi- and single-walled carbon nanotubes in xylene removal from aqueous solutions. *International Journal of Environmental Health Engineering*. 1(1), 20-23.
- Ranya, A., Amer, M., Nasier, M. and Ehab, R.E., 2008. Biodegradation of Monocyclic Aromatic Hydrocarbons by a Newly Isolated Pseudomonas strain. *Biotechnology*. 7, 630-640.
- Singh, R.S. and Celin, M., 2010. Biodegradation of BTEX (Benzene, Tolune, EthylBenzene, and Xylene) compounds by Bacterial strain under Aerobic conditions. *Journal of Ecobiotechnology*. 2(4), 27-32.
- Stefani, F.O.P., Bell, T.H., Marchand, C., Providencia.I., Yassimi, A.E., St-Arnaud, M. and Hijri, M., 2015. Culture-Dependent and -Independent Methods Capture Different Microbial Community Fractions in Hydrocarbon-Contaminated Soils. *PLoS ONE*. 10(6), e0128272.
- Story, S., Kline, E., Hughes, T., Riley, M. and Hayasaka, M., 2004. Degradation of Aromatic Hydrocarbons by Sphingomonas paucimobilis Strain EPA505. *Archives of Environmental Contamination and Toxicology*. 47(2), 168–176.

Yan, F.F., Wu, C., Cheng, Y.Y., He, Y.R., Li, W.W. and Yu, H.Q., 2013. Carbon nanotubes promote Cr (VI) reduction by alginate-immobilized *Shewanella oneidensis* MR-1. *Biochemical Engineering Journal*. 77 (15), 183-189.

Yan, Z., Daban, L., Tianzhen, J., Letao, W., Shaoxiong, L., Yue, Z., Chunming, W., Haijing, H. and Yongling, D., 2013. Biodegradation of Phenol Using *Bacillus cereus* WJ1 and Evaluation of Degradation Efficiency Based on a Graphene-Modified Electrode. *International Journal of Electrochemical Science*. 8(3), 504 – 519.

Yoon, S.H., Ha, S.M., Kwon, S., Lim, J., Kim, Y., Seo, H. and Chun, J., 2017. Introducing EzBioCloud: A taxonomically united database of 16S rRNA and whole genome assemblies. *International Journal of Systematic and Evolutionary Microbiology*. 67(5), 1613-1617.

Zhao, X., Wang, L., Bai, S., Yang, J. and Qi, S., 2017. *Pseudomonas* sp. ZXY-1, a newly isolated and highly efficient atrazine-degrading bacterium, and optimization of biodegradation using response surface methodology. *Journal of Environmental Sciences*. 54, 152-159.





Environmental Sciences Vol.16 / No.4 / Winter 2019

63-80

Xylene biodegradation by free and immobilized *Sphingomonas paucimobilis* strain TY4-HX on graphene oxide

Hossein Mohammadpour¹, Mahdi Shahriarinoor^{2*} and Ramin Yousefi³

¹ Department of Microbiology, Shiraz Branch, Islamic Azad University, Shiraz, Iran.

² Department of Microbiology, Rasht Branch, Islamic Azad University, Rasht, Iran.

³ Department of Physics, Masjed-Soleiman Branch, Islamic Azad University, Masjed-Soleiman,

Received: 2018.05.05

Accepted: 2018.11.04

Mohammadpour, H., Shahriarinoor, M. and Yousefi, R., 2019. Xylene biodegradation by free and immobilized *Sphingomonas paucimobilis* strain TY4-HX on graphene oxide. *Environmental Sciences*. 16(4):63-80.

Introduction: In recent decades, xylene has been considered as one of the most important pollutants in soil, along with other aromatic compounds in crude oil and other petrochemicals. Therefore, the aim of this study was to find bacteria for the biodegradation of this compound and to increase the degradation efficiency of this compound with the help of immobilizing the bacterium on compounds with a nanostructure such as graphene oxide.

Material and methods: In the current study, biodegradation of xylene by free and immobilized bacteria on graphene oxide was studied under optimized conditions. Isolated xylene degrading bacteria from contaminated soils were identified based on 16S rDNA gene sequencing and submitted to gene bank as *Sphingomonas paucimobilis* strain TY4-HX. Using response surface methodology, optimum values of pH, temperature and xylene concentration for xylene degradation by free and immobilized cells were determined as 7, 32°C and 1.5g/l, respectively.

Results and discussion: Free bacterial cells were able to degrade 45.8% of the xylene after 24h under optimized conditions. Analyzes by Fourier-transform infrared spectroscopy (FTIR) and Scanning Electron Microscope (SEM) showed that the strain adhered onto the Graphene oxide surface and developed a biofilm. Immobilized cells were able to degrade up to 86.3% of the xylene after 24h under optimized conditions.

Conclusion: Our results indicated that free and immobilized Bacteria had a suitable application potential in the treatment of xylene-containing soils.

Keywords: Biodegradation, Graphene oxide, Response surface methodology, SEM, Xylene.

* Corresponding Author. *E-mail Address:* mahdi.shahriari@iaurasht.ac.ir